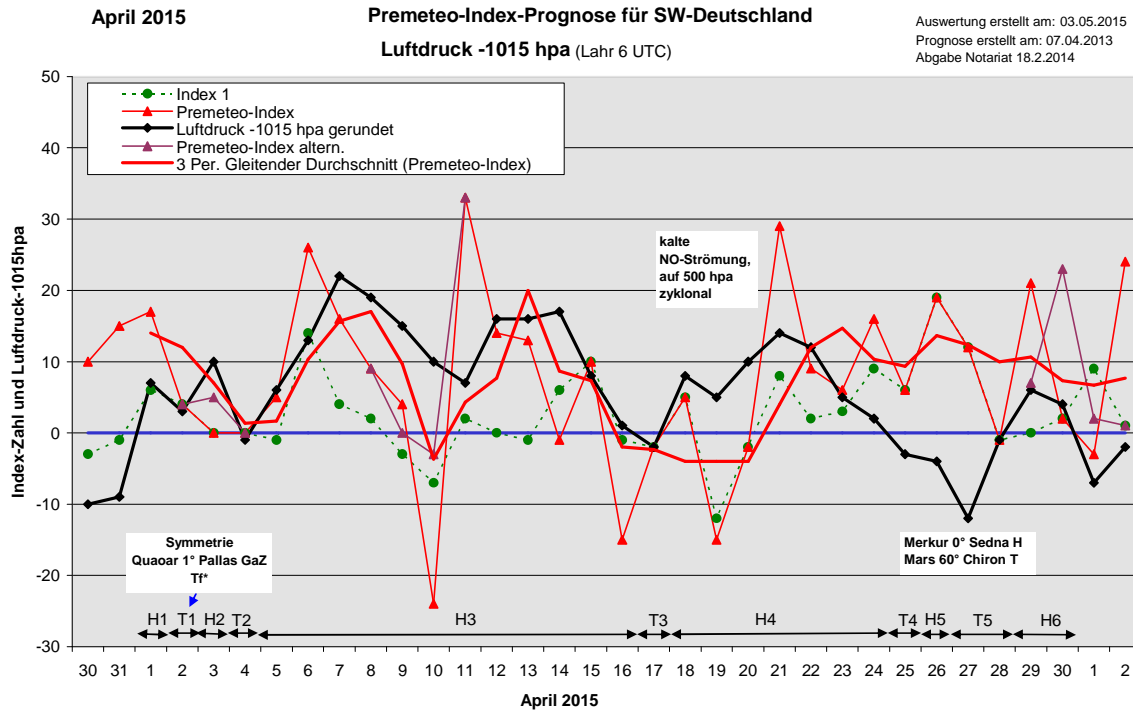


Wetterlagenverlauf April 2015 im Vergleich zur Premeteo-Indexprognose für Südwest-Deutschland

(Im Diagramm sind über der Datumsachse die real eingetreten Hoch- und Tiefdruckphasen durch Doppelpfeile eingetragen. Ausschlaggebend für die Evaluation ist der tägliche Premeteo-Index, in der dünneren, roten Linie mit Dreieckspunkten dargestellt. Ein negativer Premeteo-Index zeigt die Wahrscheinlichkeit für eine zyklonale Tiefdruckströmung, ein positiver Premeteo-Index die Wahrscheinlichkeit für eine antizyklonale Hochdruckströmung an.

Die Wetterlagenbeschreibungen wurden anhand der Berliner Wetterkarten erstellt. Ausschlaggebend ist die Europa-Bodenkarte um 0 UTC, die feiner skalierte 12 UTC-Karte von Mitteleuropa wird nur bei einem Wetterlagenwechsel für die Einordnung des Tages hinzugezogen. Am Ende des Dokuments befinden sich die Tabellen und Konstellationen, die dem Diagramm zugrunde liegen.)



Wetterlagenverlauf April 2015 im Vergleich zur Premeteo-Indexprognose für Südwest-Deutschland

(Die Wetterlagenbeschreibungen wurden anhand der Berliner Wetterkarten erstellt.)

Hochdruckphase 1: Am 1. April, nach dem Orkan-Tief Niclas dehnte sich für einen Tag - noch mit Regen- und Schneeschauern durchwachsen - der Isobarenbereich des Azorenhochs bis nach Südwestdeutschland aus. Der Premeteo-Index hatte einen Wert von +17.

Tiefdruckphase 1: Beim nachfolgenden Durchgang von Tief Oskar am 2. spielte, wie schon Ende letzten Monats, die Konjunktion Pallas 0° Quaoar Tf* die dominante Rolle, die nun durch die Symmetrie mit dem Galaktischen Zentrum GaZ erneut aktiviert wurde und kräftige, ausdauernde Niederschläge brachte. Die zyklonale NW-Strömung auf 500 hpa bewirkte eine kalte und graue Witterung. Der Premeteo-Index hatte einen Wert von +4.

Hochdruckphase 2: Ein Hoch über der Schweiz und Hoch Ostra über dem Ostatlantik bestimmten am 3. kurzfristig das Wetter. Der Premeteo-Index lag bei 0.

Tiefdruckphase 2: Noch immer bei einem Premeteo-Index von 0 setzte sich am 4. kurz das okkludierte Tief Peter über Frankreich durch.

Hochdruckphase 3: Seit Monatsbeginn herrschte auf 500 hpa eine zyklonale Strömung. Sie war noch vom 5. bis zum 7. mit einer starken Nord- bzw. Nordostströmung vertreten, aber in der Bodenschicht etablierte sich über

Großbritannien das Hoch Ostra, das zwar schon vermehrt Sonnenschein brachte, aber verbunden mit einer noch unangenehm kalten Atmosphäre. Erst am 8. bewegte sich Hoch Ostra weiter ostwärts und die Region kam nun auch auf 500 hpa in den Bereich einer antizyklonalen Strömung. Am 9. lag der Kern von Hoch Ostra über Ostdeutschland, am 10. bereits über dem Balkan, aber das Höhenhoch hatte auf 500 hpa seinen Kern über Korsika-Sardinien und blockierte das Nachrücken von Atlantiktiefs. Der Premeteo-Index hatte am 10. einen einzelnen Tag mit einem stark negativen Index von -24, der durch den T-Aspekt Sonne 135° Orcus und seine Symmetrie zu Saturn zustande kam. Am 11. stieg der Premeteo-Index schon wieder steil auf +33. Der Luftdruck erreichte schon am Abend des 10. seinen tiefsten Wert, doch die Wetterauswirkungen mit Bewölkung und geringem Niederschlag stellten sich aber erst am 11. ein, die Strömung blieb jedoch auch am 11. überwiegend antizyklonal, wir wurden von den Ausläufern des Tief Roland über Island nur kurz gestreift. Am 13. übernahm Hoch Padma von Westfrankreich herein ziehend die Regie und brachte die antizyklonale Strömung am 14. noch mal auf einen Höhepunkt. Dieser Tag hatte als einzelner Tag einen negativen Index von -1. Der negative Wert kam von der Symmetrie Venus 120° GSZ Ceres TA um 18 UTC und tatsächlich zeigte die Atmosphäre im Westen am Spätnachmittag deutlich labile Bewölkungsstrukturen. Der Kern von Hoch Padma zog am 15. über Süddeutschland und erreichte am 16. Italien. An diesem letzten Tag der 12-tägigen Hochdruckphase fiel der Premeteo-Index steil ab auf einen Wert von -15. Der Premeteo-Index summiert über die ganze Hochdruckphase auf +90.

Tiefdruckphase 3: Am 17. bildete sich eine flache Tiefdruckrinne vom Ostatlantik über Frankreich und Deutschland nach Osteuropa aus. Der Premeteo-Index hatte einen Wert von -2.

Hochdruckphase 4: Am 18. kam es zu einem kräftigen Kaltluftvorstoß durch eine zyklonale Höhenströmung aus nördlicher Richtung, während sich am Boden die Atmosphäre in der kräftigen Antizyklone Quila mit Kern über dem Nordmeer stabilisierte. Am 19. und 20. führte dies zu Fehlprognosen, da der Premeteo-Index für diese Tage die Werte -15 und -2 aufwies. Die negativen Werte kamen aus dem Index 1 durch T-Aspekte von Venus und Merkur, die durch den Kaltluftvorstoß nur auf 500 hpa sichtbar wurden. Erst zum 21. verlagerte sich der Kern von Hoch Quila nach Irland. Am 22. bildete sich auf 500 hpa interessanterweise ein kleiner Tiefdruckwirbel aus, der am 23. mit seinem Kern über Südostdeutschland lag. Am Nachmittag/Abend des 22. trat die Konjunktion von Merkur mit Mars ein, die selbst ein T-Aspekt ist und die die T-Aspekte Mars 120° Apogäum und Merkur 120° Apogäum bildete. In der Bodenatmosphäre war dieser Wirbel nur wenig wirksam. Hoch Quila lag am 23. noch über Großbritannien und wanderte am 24. über Westdeutschland Richtung Balkan. Der Premeteo-Index summierte über die ganze Hochdruckphase auf +48.

Tiefdruckphase 4: Am 25. bildete das okkludierte Tief Waldemar, das mit seinem Kern über der nördlichen Nordsee lag, über Deutschland einen flachen Trog aus. Auf 500 hpa lag die Region unter einer antizyklonalen Strömung. Der Premeteo-Index war vom Vortag um 10 Punkte auf +6 gefallen.

Hochdruckphase 4: Tief Waldemar, das am 25. um 0 UTC ein okkludiertes Tief war, vertiefte sich erneut vor der norwegischen Küste und hatte am 26. um 0 UTC einen Kerndruck von 985 hpa. Auch über der südwestdeutschen Region fiel der Luftdruck, doch konnte das Tief seinen Isobarenbereich nicht bis über die Region ausdehnen und fiel – bei einem Premeteo-Index von +19 gerade noch in den Isobarenkrümmungsbereich von Hoch Quila über Süditalien.

Tiefdruckphase 5: Tief Vasco, das seit dem 24. mit diesem Namen sich sehr langsam dem Festland näherte, überquerte am 27. Frankreich und Südwestdeutschland. Es begann erst am Spätnachmittag/Abend zu regnen. Der Premeteo-Index hatte noch einen Wert von +12, und es war der Tag der Merkur-Sedna-Konjunktion, die ein H-Aspekt ist. Der Luftdruck erreichte schon am 27. sein Minimum. Der Premeteo-Index fiel zum 28. auf -1 ab, und der ausschlaggebende, zyklonalisierende Aspekt war Mars 60° Chiron, der am 28. um 07:18 UTC exakt wurde. Der Premeteo-Index summierte auf +11.

Hochdruckphase 5: Am 29. bestimmte Hoch Regina die Wetterlage. Es bewegte sich mit seinem Kern über Westdeutschland nach Osten und war am 30. über Polen angelangt. Südwestdeutschland blieb noch bis zum Nachmittag des 30. in seinem Strömungsbereich. Der Premeteo-Index summierte auf +23. (Am 29. und 30. waren im Index 2 die Symmetrien zwar richtig eingetragen, aber ihre Werte falsch addiert worden. Dies wurde nun gegenüber der Notar-Ausgabe korrigiert und die korrigierten Zellen wurden in der Tabelle rot unterlegt. Für die Auswertungsstatistik spielt die Korrektur keine Rolle.)

Zusammenfassung: Mit 23 bezüglich der Strömung richtig prognostizierten Tagen und nur 7 Fehlprognose Tagen war der April 2015 ein guter Prognosemonat. Das Diagramm zeigte auch sehr schön, dass bis zum 17. der Verlauf des Luftdruck einen recht engen Zusammenhang zum geglätteten Premeteo-Index aufwies. Vom 18. bis zum 23. entsprach der Formverlauf des Luftdrucks dann direkt dem Premeteo-Index, (dünne rote Linie), wies aber naturgemäß viel geringere Amplituden auf als der Verlauf des Index. Vom 24. bis zum 27. April verlief die Luftdruckkurve dann entgegen dem Premeteo-Index nach unten. Dies führte am 25. und 27. zu Fehlprognosen, aber z.B. nicht am 26., als trotz des niederen Luftdrucks die Region bei einem Premeteo-Index von +19 wieder in den flachen, antizyklonalen Isobarenbereich von Hoch Quila zurückgekehrt war, das dann schon seinen Kern über Süditalien hatte. Ab dem 28. entsprach der Wetterlagenverlauf wieder normal der Prognose.

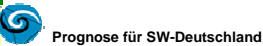
SW-D befand sich an 24 Tagen im Einflussbereich antizyklonaler Strömung. Die Summe des prognostizierten Premeteo-Index für diese Tage ergab +197, das einer Indexzahl von +8,21 pro Tag entsprach.

An 6 Tagen befand sich SW-D im Einflussbereich zyklonaler Strömung. Die Summe des prognostizierten Premeteo-Index für diese Tage ergab 19, das einer Indexzahl pro Tag von +3,27 entsprach.

So war zwar bei den Tiefdruckwetterlagen der mittlere Premeteo-Index nicht negativ, wie es im Idealfall sein sollte, aber sein positiver Wert war doch deutlich kleiner als bei den Hochdruckwetterlagen.

Die Prognose durch die Premeteo-Wettersymbole war an 4 Tagen falsch (am 6., 11., 19., 21.), an 9 Tagen richtig und an 17 Tagen tendenziell richtig.

03.05.2015
April 2015



Die unbekanntem und unsicheren Aspekte Nep 72 GaZ A?*(1/2), Nep 180 Orc T?*(0/1), Nep 45 Eri ?, Hau 180 Eri ?
 belasten an verschiedenen Tagen immer wieder die Prognosesicherheit.
 Am 23. Konjunktion (Mer 0 Mar) 120 Apo TTT.

01.04.2015

Langsamläufer-Impulse	H*	H*		H*						
Schnellläufer-Impulse	H, T		T	H, T	T	T, 3H	T	H	T	2H, 3T
Temperaturimpulse	W, K	W	W?	K		K, W			W?	
Premeteo-Index - zyklonal, + antizyklonal (Index 1+2+3)	17	4	0	0	5	26	16	9	4	-24
Pre.IX (ALTERNATIV)		4	5						0	-3
Index 1 (12 - 12 UTC) exakte Aspekte des Tages	6	4	0	0	-1	14	4	2	-3	-7
Index 1(ALTERNATIV)			5						0	
Symmetrien (0 - 0 UTC)		Qua 1 Pal GaZ (01) T1? ? - 70 Son 10op Hau GSZ (03) H T ? Jun 120 Sat Mer (10) H* A A +70 Hau 10op Son Mar (10) H A +7? Mer 120 Sat Jun (12) A A H* - Sat 120 Jun Mar (13) H* A A (+7) Orc 3op Nep Ves (15) ? A ?	GSZ 150 Mar Ves (06) A A* T - Nep 72 Ven GaZ (07) A W? A?*(1/2) T ? Eri 9 Son Mar (08) H A* +7?		Ura 6 Eri Mer (08) A?*(2/1) A ? Sat 89 Ves Orc (10) A* H?*(12/6) A* +7	Mer 22 Mar Chi (00) H +7 Mer 10op Hau GSZ (06) H A +7? Pal 145 Ven Jun (21) A H* A +7	Plu 16 Pal Car (21) T* - - Ura 1 Son Mer (22) H K A +7	Mer 1 Son Ura (02) H A +70 Ven 68 Chi Jun (10) T* 0 Son 3 Ura Eri (21) H K H 0+7	Son 136 Sat Orc (01) T T H?*(12/6) -140 Hau 10p Eri Mer (11) ? H ? Hau 10p Son Eri (19) H ?*(+70)	
Index 2 (12 - 12 UTC)	14	0	0	0	7	7	7	7	7	-14
Index 2 ALTERNATIV		0							0	7
ausgelöste LL-Aspekte	Son 180 Kn1 T-3				Mer 45 Sed T-1	Pal 144 Sed H5	Pal 144 Sed H5			Son 135 Orc T-3
Index 3 (Summe)	-3	0	0	0	-1	5	5	0	0	-3
Index 3 ALTERNATIV										
Symbol-Prognose	2	3	3	3	3	2	2	3	3	3
Symbol-Prognose altern.	2	3	3	3	3	2	2	3	3	3
Wochentag	Mi	Do	Fr	Sa	So	Mo	Di	Mi	Do	Fr
Datum	1	2	3	4	5	6	7	8	9	10
reale Wetterlage	HWL1:H*,H-T+17 T1: H' / +4 H2: T / 0 T2: T - H / 0 H3: 4H', 4H, 15H - T*, Tf, 13T - A?*/ +90									
Luftdruck (hpa) 06 UTC	1021,9	1017,6	1024,9	1014,1	1021,2	1028	1037,3	1034,4	1029,8	1024,6
mittl. Temp.(°C)	6,3	6,7	6,1	5,8	4,9	3,8	5,3	8	11,3	14,5
Sonnenscheindauer (h)	2,6	0	7,2	0	7,9	2,6	11,6	11,9	11,9	10,4
Niederschlag (Liter)	0,8 / 7	6,6 / 22	3,5	9,1 / 17	0	0	0	0	0	0
Bodenwetterlage 00 UTC (Kernlage des Druckgebiets, das SW-D beeinflusst)	Azoren-H, T ü N-Polen	T ü SW-GB, Azor-H	H ü CH u SW-D	T ü F	H ü GB	H ü GB	H ü GB	H mit Kernen ü GB, SW-D, W-Mm	H ü O-D	H ü Balkan
Bodenströmung 12 UTC zyklonal (z), antizyklonal (a)	a	a-z	a	z	a	a	a	a	a	a-z
Strömung auf 500 hpa 00 UTC	NW z	NW z	NW z	NW z	N z	NNO z	NO z	NO fl a	a	W a
zutreffende Wettersymbole	3-5 hr	5 hr	2-3 r	5 hr	2-3 r	3-5 f	2 r	2 hr	2 hr	2 hr

Übertrag 06:47 02:52 15:19 03:38 05:37 02:22 02:32 00:08 01:13 00:31

Index 1: +2
Index 2: +14

MER 180 GSZ WID 02°16'43" WAA 02°16'44" A	VEN 60 CHI STI 18°47'00" FIS 18°46'60" A	VEN 72 NEP STI 20°34'55" FIS 08°34'54" A W?	SON 150 APO JUN 14°03'17" A	MER 180 KN1 WID 09°56'52" WAA 09°56'51" A	MAR 60 VES STI 03°59'59" FIS 03°59'59" T ---	SAT 90 VES SCH 04°28'34" FIS 04°28'34" A	MER 90 PLU WID 15°31'28" STE 15°31'28" A	VEN 150 GAZ STI 26°57'37" SCH 26°57'35" A	VEN 150 QUA STI 28°05'56" SCH 28°05'56" A
SON 72 CER WID 11°27'05" STE 29°27'05" A W	MER 120 JUN WID 04°33'57" LÖW 04°33'57" A	MAR 150 GSZ STI 02°16'44" WAA 02°16'44" A	MER 30 NEP WID 08°36'43" FIS 08°36'41" A K	VEN 30 ERI STI 22°38'41" WID 22°38'40" H +4	MAR 45 CHI STI 04°00'45" FIS 19°00'44" H +4	VEN 135 KN1 STI 24°50'26" WAA 09°50'27" T ---	VEN 60 VAR STI 25°54'14" KRE 25°54'14" H +2	SON 30 CHI WID 19°11'41" FIS 19°11'42" A	SON 0 M ER WID 19°58'18" WID 19°58'18" H ---
SON 144 ORC WID 11°27'40" JUN 05°27'40" A	VES 150 GSZ FIS 02°16'45" WAA 02°16'44" A	VEN 144 GaZ STI 20°57'32" SCH 26°57'33" T -2	VEN 150 EL6 STI 21°45'15" WAA 21°45'14" H +2	SON 90 PLU WID 15°30'43" STE 15°30'42" A	VEN 144 PAL STI 23°45'27" SCH 29°45'27" A	MER 150 APO WID 14°25'27" JUN 14°25'25" A	MER 0 URA WID 16°33'53" WAA 00°31'22" A	MAR 144 FY9 STI 06°31'22" WAA 00°31'22" A	MER 135 ORC WID 20°20'05" JUN 05°20'07" A
CER 144 ORC STE 29°27'39" JUN 05°27'39" A	MER 120 SAT WID 04°38'02" SCH 04°38'00" A	MER 45 SED WID 09°11'40" STI 24°11'40" T -1	VEN 72 JUN STI 23°00'57" LÖW 05°00'56" A	MER 120 JUP WID 12°35'52" LÖW 12°35'54" A	MAR 90 JUN STI 05°21'49" LÖW 05°21'50" A	VES 180 ORC FIS 05°21'13" JUN 05°21'13" A	VES 150 JUN FIS 05°37'35" LÖW 05°37'35" A	SON 135 ORC WID 20°19'57" JUN 05°19'58" T -6	SON 135 ORC WID 20°19'57" JUN 05°19'58" T -6
MAR 150 FY9 STI 00°40'09" WAA 00°40'09" H +4	SON 120 JUP WID 12°38'51" LÖW 12°38'51" A W	VEN 144 OUA STI 22°07'00" SCH 28°07'02" A	CER 120 FY9 WAS 00°35'31" WAA 00°35'31" A	SON 0 URA WID 16°27'16" WID 16°27'17" H K +6	MAR 120 ORC STI 05°22'02" LÖW 05°22'02" A	SON 135 SAT WID 19°22'44" SCH 04°22'46" T -3 / -	MER 144 APO WID 20°46'03" JUN 14°46'03" T -1	MER 45 VES WID 21°11'32" FIS 06°11'31" T -2	MER 144 APO WID 20°46'03" JUN 14°46'03" T -1
VES 144 VAR FIS 01°54'50" KRE 25°54'50" H* +5	SAT 120 JUN SCH 04°37'17" LÖW 04°37'17" H* ---/+5	VEN 144 EL6 STI 27°39'24" WAA 21°39'23" A	VES 144 KN1 FIS 03°54'41" WAA 09°54'41" H* +5	MER 72 CER WID 12°50'42" WAS 00°50'41" A	JUN 30 ORC LÖW 05°22'02" JUN 05°22'01" A	VEN 144 EL6 STI 27°39'24" WAA 21°39'23" A	MER 45 VES WID 21°11'32" FIS 06°11'31" T -2	MER 144 APO WID 20°46'03" JUN 14°46'03" T -1	MER 144 APO WID 20°46'03" JUN 14°46'03" T -1
MER 45 VEN WID 03°38'09" STI 18°38'10" T K -1	MER 150 ORC WID 05°26'25" JUN 05°26'23" A	MER 144 ORC WID 11°23'45" JUN 05°23'43" T -1	VEN 0 SED STI 24°12'51" STI 24°12'50" H W +4	MAR 150 SAT STI 04°29'21" SCH 04°29'20" A	MER 135 SAT WID 19°21'57" SCH 04°21'59" A W?	MER 30 CHI WID 19°13'10" FIS 19°13'07" A	MER 180 EL6 WID 21°37'49" WAA 21°37'51" H +2	MER 180 EL6 WID 21°37'49" WAA 21°37'51" H +2	MER 180 EL6 WID 21°37'49" WAA 21°37'51" H +2

April 2015



Prognose für SW-Deutschland

Die unbekannt und unsicheren Aspekte Nep 72 GaZ A?(1/2), Nep 180 Orc T?(0/1), Nep 45 Eri ?*, Hau 180 Eri ?* belasten an verschiedenen Tagen immer wieder die Prognosesicherheit.
 Am 23. Konjunktion (Mer 0 Mar) 120 Apo TTT.

Langsamläufer-Impulse	T*		2H*			A?*, H*					
Schnellläufer-Impulse	2H	2T, 2H, Tf	H, T	H	2H, Hf	3T, H	T, H	Hf, 3T, H, Tf	4T	H, T	
Temperaturimpulse	W	W	K?, W		K	K	W		2K, 2W		
Premeteo-Index -zyklonal, + antizyklonal (Index 1+2+3)	33	14	13	-1	10	-15	-2	5	-15	-2	
Pre.IX (ALTERNATIV)											
Index 1 (12 - 12 UTC) exakte Aspekte des Tages	2	0	-1	6	10	-1	-2	5	-12	-2	
Index 1(ALTERNATIV)											
Symmetrien (0 - 0 UTC)	Mer 1 Son Eri (01) H H +14 Hau top Son Mer (06) H H 14 Eri 1 Son Mer (23) H H 14	Mar 16 Sed Eri (05) ?* Pal 144 Jun Sed (20) H* H* A* +14 Ven 119 Mak Cer (21) H A W A* +7	Hau 50p Ura Mer (05) H? (5/15) H +?? GSZ 120 Ven Cer (09) T A* A W -7 Ven 120 GSZ Cer (18) T A W A* -7	Mar 23 Ven Ura (03) H K? ... Eri 6 Ura Mer (07) A?(2/1) H +?? Cer 120 Ven GSZ (11) A W A* T(-7)	Cer 36 Nep GaZ (03) A?(1/2) ? Mer 9 Mar Eri (21) T H ?	GaZ 134 Mar Jup (00) T A* A -7 Hau top Son Ura (08) H H? (5/15) +?? Mer 149 Sat GSZ (11) T A H*(13/5) -7	Mer 8 Son Mar (01) H T ? Cer 36 Nep Qua (16) A?(1/2) ?	Eri 6 Son Ura (19) H A?(2/1) +?? Qua 135 Mar Jup (21) T H* A ?	Mer 16 Sed Eri (02) ?* Sed 15 Ven Mer (13) T K ...		
Index 2 (12 - 12 UTC)	28	14	14	-7	0	-14	0	0	0	0	
Index 2 ALTERNATIV											
ausgelöste LL-Aspekte	Son 180 Hau H3				Nep 72 GaZ A?(1/2)	Nep 72 GaZ A?(1/2)	Nep 72 GaZ A?(1/2)	Nep 72 GaZ A?(1/2)	Mer 60 Nep T-1 Ven 90 Nep T-2 Nep 72 GaZ A?(1/2)		
Index 3 (Summe)	3	0	0	0	0	0	0	0	-3	0	
Index 3 ALTERNATIV											
Symbol-Prognose	2	2	2	3	3	5	3	3	5	3	
Wochentag	Sa	So	Mo	Di	Mi	Do	Fr	Sa	So	Mo	
Datum	11	12	13	14	15	16	17	18	19	20	
reale Wetterlage							T3: T -H / -2	H4: H?, 2H?, 2Hf, 8H - T?, Tf, 12T / +48			
Luftdruck (hpa) 06 UTC	1021,9	1030,7	1031,1	1032	1022,9	1015,7	1012,6	1022,9	1020,3	1024,8	
mittl. Temp.(°C)	13,8	13,9	13,4	14,2	16,5	16,8	12,7	8,9	10,9	11,4	
Sonnenscheindauer (h)	0,1	11,3	8,4	11,9	11,6	2,6	0,4	10,8	12,6	12,7	
Niederschlag (Liter)	0,6	0	0	0	0	0,2	15,2 / 12	0	0	0	
Bodenwetterlage 00 UTC (Kernlage des Druckgebiets, das SW-D beeinflusst)	H ü Balk, T ü Isl	H ü O-F	H ü W-F	H ü W-D	H ü S-D	H ü Ital, T ü Balti, H ü GB	fl T-Rinne von O-Atl ü F u D	H ü Nm	H ü Alpen, H ü Nm	H ü Nm, fl T-Zelle ü F	
Bodenströmung 12 UTC zyklonal (z), antizyklonal (a)	a	a	a	a	z	fl a	z	a	z	a	
Stromung auf 500 hpa 00 UTC	SW fl z	W a-z	W fl a	NW a-z	W z	W a-z	W a-z	NW z	NNO z	NO a-z	
zutreffende Wettersymbole	5 f	2 r	2-3 r	2 hr	2 hr	3-5 r	5 hr	2 hr	2 f	2 hr	

00:47	00:08	00:11	00:57	01:59	00:54	03:41	00:02	02:07	17:47
SON 144 APO WID 20'49'17" JUN 14'49'16" A W	SON 45 VES WID 21'46'34" FIS 06'46'34" A	MER 90 VAR WID 25'54'24" KRE 25'54'26" A	MER 120 QUA WID 28'04'38" SCH 28'04'39" H +1	MER 135 APO STI 00'16'20" JUN 15'16'21" H +1	MER 150 GSZ STI 02'16'42" WAA 02'16'44" A	MER 45 CH STI 04'36'46" FIS 19'36'47" T -2	MER 144 FY9 WAA 00'22'30" Hf +7	VES 72 QUA FIS 10'02'32" SCH 28'02'31" H* ...	MER 135 GaZ STI 11'57'41" SCH 26'57'40" A
11:36	00:35	02:40	01:53	02:49	01:45	05:41	00:30	03:04	17:49
MER 0 ERI WID 22'42'41" FIS 06'37'01" WID 22'42'40" H +2	MER 45 NEP WID 23'50'36" FIS 08'50'35" T -1	PAL 144 JUN STE 00'15'28" LÖW 06'15'28" H* +5	VES 45 ERI FIS 07'44'22" WID 28'10'47" A*	MER 120 PAL STI 00'20'43" STE 00'20'42" H +2	NEP 72 GaZ FIS 08'57'38" SCH 26'57'38" A? A?(1/2)	VEN 135 EL6 ZWI 06'30'30" WAA 21'30'30" A	MAR 90 JUP STI 12'43'33" LÖW 12'43'34" A	MER 30 VEN STI 08'41'44" ZWI 08'41'44" T K -1	SON 150 FY9 STI 00'19'47" WAA 00'19'48" H +3
15:57	01:18	05:10	02:07	03:43	03:55	07:07	07:49	07:14	20:22
VES 135 EL6 FIS 06'37'01" WAA 21'37'02" T* -5	VEN 120 FY9 ZWI 00'28'40" WAA 00'28'40" H +2	VEN 45 URA WID 16'49'59" H K? ...	MER 144 SAT WID 28'10'47" SCH 04'10'46" H +1	MER 150 FY9 STI 00'25'27" WAA 00'25'25" Hf +7	VEN 90 ORC STI 05'15'47" JUN 05'15'49" T -2	SON 120 GaZ WID 26'57'39" SCH 26'57'39" A	SON 144 SAT WID 27'58'03" SCH 03'58'03" T -3	MER 60 NEP FIS 09'02'60" T W -2	SON 120 PAL STI 00'26'00" STE 00'25'59" T ...
19:18	02:34	06:18	04:16	04:26	05:27	11:01	08:11	08:58	
VEN 150 PAL ZWI 00'11'08" STE 00'11'08" A	VEN 135 PLU ZWI 00'32'22" STE 15'32'22" A	JUN 72 SED LÖW 06'17'10" STI 24'17'10" A*	SON 45 NEP WID 23'54'23" FIS 08'54'23" A	VEN 180 SA ZWI 04'07'35" SCH 04'07'36" A K	SON 90 VAR WID 25'54'50" KRE 25'54'51" A	MER 120 ORC STI 05'14'58" WAA 09'14'56" A	VEN 45 ERI WID 07'47'11" WID 22'47'10" H +4	MER 150 KN1 STI 09'11'53" WAA 09'11'55" A	
20:10	04:01	12:13	13:56	12:11	11:08	09:46	09:27		
SON 180 EL6 WID 21'36'50" WAA 21'36'49" H +6	VEN 72 JUP WID 00'36'36" LÖW 12'36'35" A	MER 120 GaZ WID 26'57'39" SCH 26'57'37" A	SON 30 SED WID 24'18'04" STI 24'18'04" A	MER 90 CER STI 03'15'49" WAS 03'15'46" H K +1	VES 150 KN1 FIS 09'17'58" WAA 09'17'59" A	SON 120 QUA WID 28'02'49" SCH 28'02'50" A	SAT 60 CER SCH 03'54'38" WAS 03'54'38" A*		
22:13	05:31	14:21		17:25	12:56	10:57	10:31		
MAR 144 GSZ STI 08'16'44" WAA 02'16'44" A	MER 30 SED WID 24'16'27" STI 24'16'28" T -2	VEN 120 GSZ ZWI 02'16'45" WAA 02'16'44" T -2		VES 72 GaZ FIS 08'57'39" SCH 26'57'39" A*	PLU 120 APO STE 15'32'46" JUN 15'32'46" A*	MER 90 JUN STE 15'32'46" LÖW 07'18'58" T -1	VEN 90 NEP ZWI 09'03'14" FIS 09'03'13" T K -2		
	08:28	14:26		18:26	19:41	11:06	13:19		
	CER 120 GSZ WAS 02'16'44" WAA 02'16'44" A*	MAR 150 KN1 STI 09'30'16" WAA 09'30'15" A		NEP 0 VES FIS 08'58'49" FIS 08'58'49" A*	VEN 60 JUN ZWI 07'11'02" LÖW 07'11'01" H W +2	MAR 135 QUA STI 13'02'49" SCH 28'02'49" T -4	VEN 120 KN1 ZWI 09'11'19" WAA 09'11'20" A W		
	17:24	20:00		18:52	22:11	16:09			
	MAR 60 NEP STI 08'51'50" FIS 08'51'50" Tf W -10	PAL 144 SED STE 00'17'33" STI 24'17'33" H* +5		PAL 90 FY9 STE 00'23'44" WAA 00'23'44" H* +5	MER 144 GSZ STI 13'55'34" WAA 02'16'43" Tf -7	MAR 72 VAR KRE 25'55'34" A			
	19:56	22:09		21:07	22:14	23:48			
	VEN 72 CH ZWI 01'23'03" FIS 19'23'02" A	VEN 120 CER ZWI 02'39'29" WAS 02'39'28" A W		MER 150 SAT STI 04'02'31" SCH 04'02'32" T -1	SED 135 KN1 STI 24'19'42" WAA 09'19'42" A*(5/8,5)W*	VEN 144 PLU ZWI 09'32'40" STE 15'32'39" T -2			
	23:24			23:16					
	SON 0 ERI WID 22'43'38" WID 22'43'39" H +6			MAR 135 GaZ STI 11'57'39" SCH 26'57'39" T -4					

April 2015



Prognose für SW-Deutschland

Die unbekanntem und unsicheren Aspekte Nep 72 GaZ A?(1/2), Nep 180 Orc T?(0/1), Nep 45 Eri ?, Hau 180 Eri ? belasten an verschiedenen Tagen immer wieder die Prognosesicherheit.
 Am 23. Konjunktion (Mer 0 Mar) 120 Apo TTT.

Langsamläufer-Impulse	T*		H*	Hf*, H*	H*		2H*		H*	
Schnellläufer-Impulse	3H, Hf, T	2H, 3T		H	H, T, Hf	2H	T, H	T, 2H	H	
Temperaturimpulse	K*, W	W	W?	W	2K, W	K*			3W, K	
Premeteo-Index -zyklonal, + antizyklonal (Index 1+2+3)	29	9	6	16	6	19	12	-1	21	
Pre.IX (ALTERNATIV)									9	
Index 1 (12 - 12 UTC) exakte Aspekte des Tages	8	2	3	9	6	19	12	-1	0	
Index 1 (ALTERNATIV)										
Symmetrien (0 - 0 UTC)	Qua 135 Jup Mer (09) H* Hf A+14 Cer Bop Jup Var (15) H* A* +7? Mer 135 Pal Mak (19) A H H* +7 Son 14 Mar Ura (20) H ...	Mer 135 Pal Mak (11) A H H* +7	Son 149 Sat GSZ (11) A H H*(13/5) +7 Mer 68 Nep Var (15) H*(11/3,5) (+7)	Ves 72 Pal Sed (07) A* A* H* +7 Mer 67 Ves Var (12) T 0 Mer 68 Nep Var (17) H*(11/3,5) ...	Mer 3 Mar Sed (17) T H ? Nep 72 GaZ Mer (18) A?(1/2) A W A ?		Sat 166 Ven Mar (00) H ...	Nep 71 Mar Qua (23) A A?(1/2) A ?	Mer 73 Jun Ves (05) A H H* +7 Son 16 Sed Eri (08) ? ... Hau 144 Ves Mer (14) H* A H +7 Sed 3 Mar Mer (15) A H +7 GaZ 151 Var Mer (16) T?(1/4) A H -7 / 0	Jun 71 Hau Mer (08) H* A A +7 Nep 72 Mar GaZ (10) A A?(1/2) A ? Mer 74 Jup Ves (13) H* ...
Index 2 (12 -12 UTC)	21	7	7	7	0	0	0	0	21	
Index 2 ALTERNATIV									7	
ausgelöste LL-Aspekte			Mar 120 Apo T-4							
Index 3 (Summe)	0	0	-4	0	0	0	0	0	0	
Index 3 ALTERNATIV										
Symbol-Prognose	2	3	3	2	3	2	2	3	2	
Wochentag	Di	Mi	Do	Fr	Sa	So	Mo	Di	Mi	
Datum	21	22	23	24	25	26	27	28	29	
reale Wetterlage					T4: T-H*H, Hf/H+6	H5: 2H / +19	T5: 2H - 2H*, 3H / +11	H6: H*, H / +23		
Luftdruck (hpa) 06 UTC	1029,2	1026,9	1020,3	1016,9	1011,8	1010,6	1002,6	1014,3	1018,5	
mittl. Temp.(°C)	13	12,6	11,3	13,4	13,8	16,2	14,3	9,5	10,2	
Sonnenscheindauer (h)	12,7	12,6	12,8	12,6	0	8,6	1,8	0,9	10,4	
Niederschlag (Liter)	0	0	0	0	2,5 / 3	0,4	8,8 / 13	0 / 2	0	
Bodenwetterlage 00 UTC (Kernlage des Druckgebiets, das SW-D beeinflusst)	H ü Irland	H ü GB	H ü GB	H ü W-D	T ü N-Nsee, H ü Balkan	H ü S-Italien, T ü Nm	T ü SW-F	T ü SO-D, T ü GG	H ü W-R	H ü Polen T über Madeira T ü N-Nsee
Bodenströmung 12 UTC zyklonal (z), antizyklonal (a)	a	a	a	fl a	z	fl a	z	a-z	a	fl a
Strömung auf 500 hpa 00 UTC	NO a	NNW a	N fl z	N a-z	SW a	SW a-z	SW a-z	SW z	W a-z	SW z
zutreffende Wettersymbole	2 r	2 hr	2 hr	2 r	5 hr	2-3 hr	5 f	3 hr	2 r	3 hr

01:07	07:19	01:25	03:18	01:55	01:14	02:30	01:05	01:17	03:08
VES 135 VAR	MER 144 KNI	PAL 144 SED	SON 150 SAT	VEN 150 PLU	MER 144 QUA	MER 135 KNI	URA 72 CER	MER 150 GaZ	VEN 120 EL6
FIS 10°55'56"	STI 15°02'37"	STE 00°24'06"	STI 03°38'33"	ZWI 15°31'49"	STI 21°58'42"	STI 23°47'23"	WID 17°39'47"	SCH 26°57'45"	WAA 21°15'46"
KRE 25°55'56"	WAA 09°02'36"	H* +5	SCH 03°38'33"	STE 15°31'50"	SCH 27°58'44"	WAA 08°47'21"	WAS 05°39'47"	A	A
T -5	A	A	A	A	H +1	A	A	A	A
01:38	10:31	11:20	05:43	10:14	13:38	05:55	07:18	04:33	15:15
VEN 45 VAR	MER 135 FY9	MER 135 GSZ	PAL 72 VES	JUN 60 KNI	MER 30 ERI	JUN 72 EL6	MAR 60 CHI	VEN 90 CHI	VEN 30 MAR
ZWI 10°55'56"	STI 15°18'07"	STI 17°16'44"	STE 00°22'11"	LÖW 08°52'41"	STI 22°52'32"	LÖW 09°18'59"	STI 20°09'33"	ZWI 20°11'59"	ZWI 21°14'55"
KRE 25°55'56"	WAA 00°18'10"	WAA 02°16'43"	FIS 12°22'10"	WAA 08°52'41"	WID 22°52'31"	WAA 21°18'59"	WAA 20°09'34"	STI 20°11'59"	STI 21°49'54"
H +2	H +1	A	A	A	H +2	H* +5	T -4	A W	H +2
01:58	11:54	13:04	07:18	11:00	19:11	08:50	10:22	06:10	18:05
VEN 90 VES	MER 135 PAL	MER 30 URA	MAR 135 GSZ	CER 150 ORC	SON 144 FY9	MER 144 PAL	MER 60 VAR	MER 144 EL6	VES 144 EL6
ZWI 10°56'54"	STI 15°24'49"	STI 17°24'54"	STI 17°16'43"	WAS 05°10'12"	STI 06°14'06"	STI 24°13'60"	STI 25°58'38"	STI 27°16'46"	FIS 15°15'04"
FIS 10°56'53"	STE 00°24'48"	WID 17°24'55"	WAA 02°16'43"	JUN 05°10'12"	WAA 00°14'07"	STE 00°13'59"	KRE 25°58'38"	WAA 21°16'44"	WAA 21°15'05"
A	A	A W?	A	A	A	T ...	H +1	A	H* +5
04:17	13:27	08:17	11:26	21:32	12:03	15:40	07:21	18:27	
MER 90 JUP	MER 120 PLU	VEN 72 SED	MER 144 GaZ	VEN 60 URA	MER 0 SED	MER 72 VES	SON 150 KNI	MAR 144 QUA	
STI 12°49'58"	STI 15°32'17"	FIS 12°25'03"	STI 20°57'42"	ZWI 17°36'02"	STI 24°27'25"	STI 26°19'49"	STI 08°40'22"	STI 21°55'38"	
LÖW 12°49'58"	STE 15°32'19"	STI 24°25'03"	SCH 26°57'42"	WID 17°36'01"	STI 24°27'24"	FIS 14°19'48"	WAA 08°40'22"	SCH 27°55'37"	
A	A	A	A	H +2	A	H +2	A	A	
05:12	16:52	12:01	13:31	22:52	12:27	21:37	10:08	21:57	
Nep 150 KNI	MAR 120 APO	CHI 45 CER	SON 45 CHI	Nep 150 JUN	PAL 90 FY9	SON 144 GSZ	MAR 144 GaZ	SON 90 JUN	
FIS 09°06'04"	STI 16°07'17"	FIS 19°58'51"	STI 05°01'54"	FIS 09°14'42"	STE 00°13'29"	STI 08°16'44"	STI 20°57'43"	STI 10°14'06"	
WAA 09°06'04"	JUN 16°07'17"	WAS 04°58'51"	FIS 20°01'53"	LÖW 09°14'42"	WAA 00°13'29"	WAA 02°16'43"	SCH 26°57'43"	LÖW 10°14'07"	
A* K*	T ...	H* +5	A	A* K*	H* +5	A	A	A	
06:36	17:44	13:44	14:49	19:03	16:37	14:16	16:09		
MER 135 QUA	SON 150 GSZ	MAR 30 URA	MER 72 NEP	JUP 135 QUA	MER 150 EL6	VEN 72 KN2	MER 72 JUN		
STI 13°01'27"	STI 02°16'43"	STI 17°28'19"	STI 21°12'46"	STI 12°59'29"	STI 21°20'45"	ZWI 20°39'26"	STI 27°56'08"		
SCH 28°01'26"	WAA 02°16'43"	WID 17°28'20"	FIS 09°12'46"	SCH 27°59'29"	WAA 21°20'45"	WID 08°39'27"	LÖW 09°55'09"		
Hf +7	H +3	H +4	A W	H* +6	A	A	A		
06:55	18:42	19:03	16:37	22:38	16:53	16:29	18:40		
MAR 144 KNI	VEN 60 JUP	MER 60 CHI	SON 120 ORC	SON 135 APO	MER 120 APO	MER 150 QUA	ERI 144 APO		
STI 15°05'51"	ZWI 12°53'53"	STI 17°28'19"	STI 05°10'06"	STI 00°58'36"	STI 16°08'25"	STI 27°56'24"	WID 22°54'34"		
WAA 09°05'50"	LÖW 12°53'54"	FIS 20°00'07"	JUN 05°10'05"	JUN 15°58'36"	JUN 16°08'25"	SCH 27°56'22"	JUN 16°54'34"		
A	A W	A W	H +3	T -3	T -1	A	A*		
09:43	20:58	14:10	23:05	17:41	18:25	21:32	21:54		
MAR 135 FY9	MER 0 MAR	MER 72 VAR	SON 90 CER	MAR 135 PAL	VEN 90 APO	MAR 150 EL6	MAR 72 NEP		
STI 15°18'58"	STI 16°18'33"	STI 13°56'06"	WAS 05°13'50"	STI 15°25'29"	ZWI 16°28'45"	STI 21°16'04"	STI 21°18'49"		
WAA 00°18'58"	STI 16°18'31"	KRE 25°56'08"	T K ...	STE 00°25'30"	JUN 16°28'44"	WAA 21°16'05"	FIS 09°18'49"		
H +4	T -4	H +1		A	Hf K +8	A	A		
17:46	21:36	21:32	21:53	21:36	21:54	21:32	21:32		
MAR 135 PAL	STI 15°32'26"	MAR 150 EL6	VEN 90 APO	MAR 120 PLU	STI 15°32'26"	VEN 135 CER	SON 60 NEP		
STE 15°32'25"	AW	STI 21°16'04"	JUN 16°28'44"	STI 15°32'26"	STE 15°32'25"	ZWI 20°59'57"	STI 09°18'52"		
		WAA 21°16'05"	Hf K +8	AW	AW	WAS 05°59'57"	FIS 09°18'53"		
		A				A W	A W		

April 2015: Fehlprognosen

Datum	Vorzeichen Symbol	Analyse
2.	+4 5 hr	Tief Oskar über SW-England. Beim nachfolgenden Durchgang von Tief Oskar am 2. spielte, wie schon Ende letzten Monats, die Konjunktion Pallas 0° Quaoar Tf* die dominante Rolle, die nun durch die Symmetrie mit dem Galaktischen Zentrum GaZ erneut aktiviert wurde und kräftige, ausdauernde Niederschläge brachte. Die zyklonale NW-Strömung auf 500 hpa bewirkte eine kalte und graue Witterung. Flacher Index.
10.	-24 2 hr	Hoch Ostra über Balkan. Einzelner Tag mit negativem Index. Druckfall. Der tiefe Index kam durch den T-Aspekt Sonne 135° Orcus und seine Symmetrie zu Saturn zustande kam. Ein Höhenhoch hatte auf 500 hpa seinen Kern über Kosika-Sardinien und blockierte das Nachrücken von Atlantiktiefs. Am Folgetag beträgt der Premeteo-Index bereits wieder +33! Der Luftdruck erreichte schon am Abend des 10. seinen tiefsten Wert, die Wetterauswirkungen mit Bewölkung und geringem Niederschlag stellten sich aber erst am 11. ein, die Strömung blieb jedoch auch am 11. überwiegend antizyklonal, wir wurden von den Ausläufern des Tief Roland über Island nur kurz gestreift.
14.	-1 2 hr	Hoch Padma über Westdeutschland. Dieser Tag hatte als einzelner Tag einen negativen Index von -1. Der negative Wert kam von der Symmetrie Venus 120° GSZ Ceres TA um 18 UTC und tatsächlich zeigte die Atmosphäre im Westen am Spätnachmittag deutlich labile Bewölkungsstrukturen. Flacher Index.
19.	-15 2 f	Hoch über Alpen und Hoch Quila über dem Nordmeer. Am 18. kam es zu einem kräftigen Kaltluftvorstoß durch eine zyklonale Höhenströmung aus nördlicher Richtung, während sich am Boden die Atmosphäre in der kräftigen Antizyklone Quila mit Kern über dem Nordmeer stabilisierte. Am 19. und 20. führte dies zu Fehlprognosen. Die negativen Werte kamen aus dem Index 1 durch T-Aspekte von Venus und Merkur, die durch den Kaltluftvorstoß nur auf 500 hpa sichtbar wurden. Auf 500 hpa zyklonal.
20.	-2 2 hr	Hoch Quila über Nordmeer. Analyse siehe 19. April.
25.	+6 5 hr	Tief Waldemar über nördlicher Nordsee. Flacher Index, auf 500 hpa antizyklonal. Der Premeteo-Index war vom Vortag um 10 Punkte +6 gefallen. Einziger T-Aspekt des Tages war Sonne 90° Ceres um 18 Uhr.
27.	+12	Tief Vasco über Südwestfrankreich. Es war der Tag der Merkur-Sedna-Konjunktion, die ein H-Aspekt ist. Der Premeteo-Index fiel zum 28. auf -1 ab, und der ausschlaggebende, zyklonalisierende Aspekt war Mars 60° Chiron, der am 28. schon um 07:18 UTC exakt wurde.